Formelsammlung - ET/TI

Marc Ludwig

12. Juli 2011

Inhaltsverzeichnis

Teil I

Mathematik

Kapitel 1

Algebra

Why waste time learning
when ignorance is instantaneous?
- Hobbes

1.1 Rechenregeln fuer Potenzen

$$a^m \cdot a^n = a^{m+n} \qquad \frac{a^m}{a^n} = a^{m-n} \qquad (a^m)^n = (a^n)^m = a^{m \cdot n}$$

$$a^n \cdot b^n = (a \cdot b)^n \qquad \frac{a^n}{b^n} = \left(\frac{a}{b}\right)^n \qquad \text{(fuer a > 0)}\ a^b = e^{b \cdot \ln a}$$

1.2 Zusammenhang zwischen Wurzeln und Potenzen

Im Folgenden wird vorausgesetzt, dass alle Potenzen und Wurzeln existieren.

$$\sqrt[n]{a} = a^{\frac{1}{n}} \qquad \sqrt[n]{a^m} = a^{\frac{m}{n}} \qquad \left(\sqrt[n]{a}\right)^m = a^{\frac{m}{n}}$$

1.3 Potenzen und Logarithmen

Schreibweise: x= $\log_a(b)$ mit $a > 0, a \neq 1$ und $b > 0$.
Es gillt: $\log_a(1) = 0$, $\log_a(a) = 1$.

1.3.1 Der natuerliche Logarithmus

Der Logarithmus zur Basis e mit $e = \lim_{n\to\infty} \left(1 + \frac{1}{n}\right)^n = 2,71828...$

$$\log_e(b) = \ln(b) \qquad \ln\left(\frac{1}{e}\right) = -1; \text{ da } e^{-1} = \frac{1}{e}$$

$\boxed{\text{Man beachte: } x^a = e^{\ln(x)\cdot a}}$

1.3.2 Rechnen mit Logarithmen

Es gillt:	Weitere Beziehungen:
$\log_a(u \cdot v) = \log_a(u) + \log_a(v)$	$\log_a(\sqrt[n]{u}) = \frac{1}{n}\log_a(u)$
$\log_a\left(\frac{u}{v}\right) = \log_a(u) - \log_a(v)$	$a^{\log_a(u)} = \log_a(a^u) = u$
$\log_a(u^p) = p \cdot \log_a(u)$	$\log_a(u) = \frac{\log_c(u)}{\log_c(a)}$

1.4 Der Binomische Lehrsatz

Die Potenzen eines Binoms a+b lassen sich nach dem Binomischen Lehrsatz wie folgt entwickeln ($n \in \mathbb{N}^*$):

$$(a+b)^n = a^n + \binom{n}{1}a^{n-1}\cdot b^1 + \binom{n}{2}a^{n-2}\cdot b^2 + \binom{n}{3}a^{n-3}\cdot b^3 + \ldots + \binom{n}{n-1}a^1\cdot b^{n-1} + b^n$$

Die Koeffizienten $\binom{n}{k}$ heißen Binominalkoeffizienten, ihr Bildungsgesetz lautet:

$$\binom{n}{k} = \frac{n(n-1)(n-2)\ldots[n-(k-1)]}{k!} = \frac{n!}{k!(n-k)!}$$

Einige Eigenschaften der Binominalkoeffizienten

$$\binom{n}{0} = \binom{n}{n} = 1 \qquad \binom{n}{k} = 0 \text{ fuer k > n} \qquad \binom{n}{1} = \binom{n}{n-1} = n$$

$$\binom{n}{k} = \binom{n}{n-k} \qquad \binom{n}{k} + \binom{n}{k+1} = \binom{n+1}{k+1}$$

1.5 Sinus, Kosinus, Tangens und Kotangens

1.5.1 Beziehungen zwischen Sinus, Kosinus, Tangens und Kotangens

$$\sin^2(\alpha) + \cos^2(\alpha) = 1 \qquad \tan(\alpha) \cdot \cot(\alpha) = 1$$

$$\tan(\alpha) = \frac{\sin(\alpha)}{\cos(\alpha)} \qquad \cot(\alpha) = \frac{\cos(\alpha)}{\sin(\alpha)}$$

$$1 + \tan^2(\alpha) = \frac{1}{\cos^2(\alpha)} \qquad 1 + \cot^2(\alpha) = \frac{1}{\sin^2(\alpha)}$$

1.5.2 Additionstheoreme

$$\sin(\alpha \pm \beta) = \sin(\alpha)\cos(\beta) \pm \cos(\alpha)\sin(\beta)$$

$$\cos(\alpha \pm \beta) = \cos(\alpha)\cos(\beta) \mp \sin(\alpha)\sin(\beta)$$

$$\tan(\alpha \pm \beta) = \frac{\tan(\alpha) \pm \tan(\beta)}{1 \mp \tan(\alpha)\tan(\beta)}$$

1.5.3 Funktionen des doppelten und halben Winkels

$$\begin{aligned}
\sin(2\alpha) &= 2\sin(\alpha)\cos(\alpha) \\
\cos(2\alpha) &= \cos^2(\alpha) - \sin^2(\alpha) = 2\cos^2(\alpha) - 1 = 1 - 2\sin^2(\alpha) \\
\tan(2\alpha) &= \frac{2\tan(\alpha)}{1-\tan^2(\alpha)} \\
\sin^2\left(\frac{\alpha}{2}\right) &= \frac{1}{2}\left(1-\cos(\alpha)\right) \\
\cos^2\left(\frac{\alpha}{2}\right) &= \frac{1}{2}\left(1+\cos(\alpha)\right) \\
\tan^2\left(\frac{\alpha}{2}\right) &= \frac{1-\cos(\alpha)}{1+\cos(\alpha)}
\end{aligned}$$

1.5.4 Umformungen

Summe oder Differenz in ein Produkt

$\sin(\alpha) + \sin(\beta) = 2\sin\left(\frac{\alpha+\beta}{2}\right)\cos\left(\frac{\alpha-\beta}{2}\right)$
$\sin(\alpha) - \sin(\beta) = 2\cos\left(\frac{\alpha+\beta}{2}\right)\sin\left(\frac{\alpha-\beta}{2}\right)$
$\cos(\alpha) + \cos(\beta) = 2\cos\left(\frac{\alpha+\beta}{2}\right)\cos\left(\frac{\alpha-\beta}{2}\right)$
$\cos(\alpha) - \cos(\beta) = -2\sin\left(\frac{\alpha+\beta}{2}\right)\sin\left(\frac{\alpha-\beta}{2}\right)$

Produkt in eine Summe oder Differenz

$2\sin(\alpha)\sin(\beta) = \cos(\alpha-\beta) - \cos(\alpha+\beta)$
$2\cos(\alpha)\cos(\beta) = \cos(\alpha-\beta) + \cos(\alpha+\beta)$
$2\sin(\alpha)\cos(\beta) = \sin(\alpha-\beta) + \sin(\alpha+\beta)$

1.6 Komplexe Zahlen

Für die Menge aller komplexen Zahlen schreibt man:

$$\boxed{\mathbb{C} = \{z|z = a + bj, a \in \mathbb{R} \wedge b \in \mathbb{R}\}}$$

a-Realteil b-Imaginaerteil j-imaginaere Einheit

kartesiche Form	trigonometrische Form	exponentialform
$z = a + bj$	$z = \|z\| (\cos\varphi + j \cdot \sin\varphi)$	$z = \|z\| \cdot e^{j\varphi}$
$z^* = (a + bj)^* = a - bj$	$z^* = \|z\| (\cos\varphi - j \cdot \sin\varphi)$	$z^* = \|z\| \cdot e^{-j\varphi}$

$|z|$ = Betrag von z
φ = Argument (Winkel) von z
z^* = Konjugiert komplexe Zahl

1.6.1 Umrechnungen zwischen den Darstellungsformen

Polarform → Kartesiche Form

$$z = |z| \cdot e^{j\varphi} = |z| (\cos\varphi + j \cdot \sin\varphi) = \underbrace{|z| \cdot \cos\varphi}_{a} + j \cdot \underbrace{|z| \cdot \sin\varphi}_{b} = a + bj$$

Kartesische Form → Polarform

$$|z| = \sqrt{a^2 + b^2}, \quad \tan\varphi = \frac{b}{a}$$

1.6.2 Rechnen mit Komplexen Zahlen

Multiplikation

$\boxed{\text{In kartesischer Form:}}$

$$z_1 \cdot z_2 = (a_1 + jb_1) \cdot (a_2 + jb_2) = (a_1 a_2 - b_1 b_2) + j \cdot (a_1 b_2 + a_2 b_1)$$

$\boxed{\text{In der Polarform:}}$

$$\begin{aligned} z_1 \cdot z_2 &= [|z_1| (\cos\varphi_1 + j \cdot \sin\varphi_1)] \cdot [|z_2| (\cos\varphi_2 + j \cdot \sin\varphi_2)] \\ &= (|z_1| |z_2|) \cdot [\cos(\varphi_1 + \varphi_2) + j \cdot \sin(\varphi_1 + \varphi_2)] \\ &= \left(|z_1| \cdot e^{j\varphi_1}\right) \cdot \left(|z_2| \cdot e^{j\varphi_2}\right) = (|z_1| |z_2|) \cdot e^{j(\varphi_1 + \varphi_2)} \end{aligned}$$

Division

$\boxed{\text{In kartesischer Form}}$

$\boxed{\text{In der Polarform}}$

Kapitel 2

Funktionen

2.1 Gleichungen

2.1.1 Gleichungen n-ten Grades

$$a_n \cdot x^n + a_{n-1} \cdot x^{n-1} + \ldots + a_1 \cdot x + a_0 = 0 \quad (a_n \neq 0, a_k \in \mathbb{R})$$

Eigenschafften

- Die Gleichung besitzen maximal n reelle Lösungen.
- Es gibt genau n komplexe Lösungen.
- Für ungerades n gibt es mindestens eine reelle Lösung.
- Komplexe Lösungen treten immer Paarweise auf.
- Es existieren nur Lösungsformeln bis $n \leq 4$. Für $n > 4$ gibt es nur noch grafische oder numerische Lösungswege.
- Wenn eine Nullstelle bekannt ist kann man die Gleichung um einen Grad verringern, indem man denn zugehörigen Linearfaktor $x - x_1$ abspaltet(Polynome Division).

2.1.2 Lineare Gleichungen

$$a_1 \cdot x + a_0 = 0 \Rightarrow x_1 = -\frac{a_0}{a_1} \quad (a_1 \neq 0)$$

2.1.3 Quadratische Gleichungen

$$a_2 \cdot x^2 + a_1 \cdot x + a_0 = 0 \quad (a_2 \neq 0)$$

Normalform mit Lösung

$$x^2 + p \cdot x + q = 0 \Rightarrow x_{1/2} = -\frac{p}{2} \pm \sqrt{\left(\frac{p}{2}\right)^2 - q}$$

Überprüfung (Vietascher Wurzelsatz)

$$x_1 + x_2 = -p \qquad\qquad x_1 \cdot x_2 = q$$

x_1, x_2 : Lösung der quadratischen Gleichung.

2.1.4 Biquadratische Gleichungen

Diese Gleichungen lassen sich mithilfe der Substitution lösen.

$$a \cdot x^4 + b \cdot x^2 + c = 0 \qquad\qquad u = x^2$$
$$a \cdot u^2 + b \cdot u + c = 0 \qquad\qquad x = \pm\sqrt{u}$$

Das u kann mithilfe der Lösungsformel einer quadratischen Gleichung gelöst werden.

2.1.5 Gleichungen höheren Grades

Gleichungen höheren Grades kann man durch graphische oder numerische Ansätze lösen. Hilfreich ist das finden einer Lösung und das abspalten eines Linearfaktor , mithilfe der Polynomdivision oder dem Hornor Schema,von der ursprünglichen Gleichung.

Polynomdivision

$$\frac{f(x)}{x - x_0} = \frac{a_3 \cdot x^3 + a_2 \cdot x^2 + a_1 \cdot x + a_0}{x - x_0} = b_2 \cdot x^2 + b_1 \cdot x + b_0 + r(x)$$

x_0 ist dabei die erste gefunden Nullstelle. r(x) verschwindet wenn x_0 ein Nullstellen oder eine Lösung von f(x) ist.

$$r(x) = \frac{a_3 \cdot x_0^3 + a_2 \cdot x_0^2 + a_1 \cdot x_0 + a_0}{x - x_0} = \frac{f(x_0)}{x - x_0}$$

2.1.6 Wurzelgleichung

Wurzelgleichungen löst man durch quadrieren oder mit hilfe von Substitution. Bei Wurzelgleichung ist zu beachten das quadrieren keine Aquivalente Umformung ist und das Ergebniss überprüft werden muss.

2.1.7 Ungleichungen

- Beidseitiges Subtrahieren oder Addieren ist möglich
- Die Ungleichung darf mit einer beliebige positiven Zahl multipliziert oder dividiert werden
- Die Ungleichung darf mit einer beliebige negativen Zahl multipliziert oder dividiert werden, wenn man gleichzeitig das Relationszeichen umdreht.

2.1.8 Betragsgleichungen

Betragsgleichungen löst man mithilfe der Fallunterscheidung. Dabei wird einmal davon ausgegangen das der Term inerhalb des Betrags einmal positiv und einmal negativen sein kann.

$$y = |x| = \begin{cases} x \text{ für } x \geq 0 \\ -x \text{ für } x < 0 \end{cases}$$

Kapitel 3

Vektorrechnung

3.1 Vektorrechnung

3.1.1 Grundlagen

Darstellung

$$\begin{aligned}\vec{a} &= \vec{a}_x + \vec{a}_y + \vec{a}_z \\ &= a_x\vec{e}_x + a_y\vec{e}_y + a_y\vec{e}_y \\ &= \begin{pmatrix} a_x \\ a_y \\ a_z \end{pmatrix}\end{aligned}$$

2 Punkt Vektor

$$P_1\vec{P}_2 = \begin{pmatrix} x_2 - x_1 \\ y_2 - y_1 \\ z_2 - z_1 \end{pmatrix}$$

Betrag

$$\begin{aligned}|\vec{a}| &= a \\ &= \sqrt{a_x^2 + a_y^2 + a_z^2} \\ &= \sqrt{\vec{a} \circ \vec{a}}\end{aligned}$$

Richtungswinkel

$$\begin{aligned}\cos\alpha &= \frac{a_x}{|\vec{a}|} \\ \cos\beta &= \frac{a_y}{|\vec{a}|} \\ \cos\gamma &= \frac{a_z}{|\vec{a}|} \\ 1 &= \cos^2\alpha + \cos^2\beta + \cos^2\gamma\end{aligned}$$

3.1.2 Vektoroperationen

Addition und Subtraktion

$$\vec{a} \pm \vec{b} = \begin{pmatrix} a_x \pm b_x \\ a_y \pm b_y \\ a_z \pm b_z \end{pmatrix}$$

Multiplikation mit einem Skalar

$$a \cdot \vec{b} = \begin{pmatrix} ab_x \\ ab_y \\ ab_z \end{pmatrix}$$

Einheitsvektor

$$\vec{e}_a = \frac{\vec{a}}{|\vec{a}|} = \begin{pmatrix} a_x/|\vec{a}| \\ a_y/|\vec{a}| \\ a_z/|\vec{a}| \end{pmatrix}$$

Skalarprodukt

$$\begin{aligned} \vec{a} \circ \vec{b} &= \begin{pmatrix} a_x \\ a_y \\ a_z \end{pmatrix} \circ \begin{pmatrix} b_x \\ b_y \\ b_z \end{pmatrix} \\ &= a_x b_x + a_y b_y + a_z b_z \\ &= |\vec{a}| \cdot |\vec{b}| \cdot \cos \angle(\vec{a}, \vec{b}) \end{aligned}$$

Kreuzprodukt

$|\vec{a} \times \vec{b}|$ Fläche des Parallelograms $\vec{a}, \vec{b}$
$\vec{a} \times \vec{b} \perp \vec{a} \wedge \vec{a} \times \vec{b} \perp \vec{b}$

$$\begin{aligned} \vec{a} \times \vec{b} &= \begin{pmatrix} a_x \\ a_y \\ a_z \end{pmatrix} \times \begin{pmatrix} b_x \\ b_y \\ b_z \end{pmatrix} \\ &= \begin{pmatrix} a_y b_z - a_z b_y \\ a_z b_x - a_x b_z \\ a_x b_y - a_y b_x \end{pmatrix} \\ &= \begin{vmatrix} \vec{e}_x & \vec{e}_y & \vec{e}_z \\ a_x & a_y & a_z \\ b_x & b_y & b_z \end{vmatrix} \end{aligned}$$

Spatprodukt

$\vec{a} \circ (\vec{b} \times \vec{c})$
Volumen des Parallelpiped $\vec{a}, \vec{b}, \vec{c}$

$$\begin{aligned} [\vec{a}\vec{b}\vec{c}] &= \vec{a} \circ (\vec{b} \times \vec{c}) \\ &= a_x(b_y c_z - b_z c_y) \\ &+ a_y(b_z c_x - b_x c_z) \\ &+ a_z(b_x c_y - b_y c_x) \\ &= \begin{vmatrix} a_x & a_y & a_z \\ b_x & b_y & b_z \\ c_x & c_y & c_z \end{vmatrix} \end{aligned}$$

Schnittwinkel

$$\cos \angle(\vec{a}, \vec{b}) = \frac{\vec{a} \circ \vec{b}}{|\vec{a}| \cdot |\vec{b}|}$$

Projektion

$$\vec{a}_b = \left(\frac{\vec{a} \circ \vec{b}}{|\vec{a}|^2} \right) \vec{a} = (\vec{b} \circ \vec{e}_a) \vec{e}_a$$

3.1.3 Geraden

Geradegleichung

$$\begin{aligned}\vec{r}(t) &= \vec{r}_1 + t\vec{a}\\ &= \vec{r}_1 + t(\vec{r}_2 - \vec{r}_1)\end{aligned}$$

Abstand eines Punktes von einer Geraden

$$\begin{aligned}\vec{r}(t) &= \vec{r}_1 + t\vec{a}\\ d &= \frac{|\vec{a} \times \left(\vec{OP} - \vec{r}_1\right)|}{\vec{a}}\end{aligned}$$

Abstand zweier paralleler Geraden

$$\begin{aligned}\vec{r}(t) &= \vec{r}_1 + t\vec{a}_1\\ \vec{g}(t) &= \vec{r}_2 + t\vec{a}_1\\ d &= \frac{|\vec{a}_1 \times (\vec{r}_2 - \vec{r}_1)|}{\vec{a}_1}\end{aligned}$$

Abstand zweier windschiefen Geraden

$$\begin{aligned}\vec{r}(t) &= \vec{r}_1 + t\vec{a}_1\\ \vec{g}(t) &= \vec{r}_2 + t\vec{a}_2\\ d &= \frac{|\vec{a}_1 \circ (\vec{a}_2 \times (\vec{r}_2 - \vec{r}_1))|}{\vec{a}_1 \times \vec{a}_2}\end{aligned}$$

3.1.4 Ebenen

Ebenengleichung

$$\begin{aligned}\vec{r}(t,s) &= \vec{r}_1 + t\vec{a}_1 + s\vec{a}_2\\ &= \vec{r}_1 + t(\vec{r}_2 - \vec{r}_1)\\ &\quad + s(\vec{r}_3 - \vec{r}_1)\end{aligned}$$

Parameterfreie Darstellung

$$\begin{aligned}\vec{r}(t,s) &= \vec{r}_1 + t\vec{a}_1 + s\vec{a}_2\\ \vec{r} \circ (\vec{a}_1 \times \vec{a}_2) &= \vec{r}_1 \circ (\vec{a}_1 \times \vec{a}_2)\\ &\quad + t\vec{a}_1 \circ (\vec{a}_1 \times \vec{a}_2)\\ &\quad + s\vec{a}_2 \circ (\vec{a}_1 \times \vec{a}_2)\\ \vec{r} \circ \vec{n} &= \vec{r}_1 \circ \vec{n} + 0 + 0\\ \vec{n} \circ (\vec{r} - \vec{r}_1) &= 0\end{aligned}$$

Normalenvektor

$$\vec{n} = \vec{a}_1 \times \vec{a}_2$$

Normierter Normalenvektor

$$\vec{e}_n = \frac{\vec{a}_1 \times \vec{a}_2}{|\vec{a}_1 \times \vec{a}_2|}$$

Hessesche Normalform

$$0 = \frac{Ax + By + Cz + D}{\sqrt{A^2 + B^2 + C^2}}$$

Abstand eines Punktes von einer Ebene

$$\begin{aligned}d &= \frac{|\vec{n} \times \left(\vec{OP} - \vec{r}_1\right)|}{\vec{n}}\\ d &= \frac{Ap_1 + Bp_2 + Cp_3 + D}{\sqrt{A^2 + B^2 + C^2}}\end{aligned}$$

Abstand eines Geraden von einer Ebene

$$\begin{aligned}\vec{r}(t) &= \vec{r}_G + t\vec{a}_1 \\ d &= \frac{|\vec{n} \times (\vec{r}_G - \vec{r}_1)\,|}{\vec{n}} \\ d &= \frac{Ar_{G1} + Br_{G2} + Cr_{G3} + D}{\sqrt{A^2 + B^2 + C^2}}\end{aligned}$$

Abstand zweier paralleler Ebenen

$$\begin{aligned}\vec{r}(t,s) &= \vec{r}_1 + t\vec{a}_1 + s\vec{a}_2 \\ \vec{g}(t,s) &= \vec{r}_2 + t\vec{a}_3 + s\vec{a}_4 \\ d &= \frac{|\vec{n} \times (\vec{r}_1 - \vec{r}_2)\,|}{\vec{n}}\end{aligned}$$

Schnittwinkel zweier Ebenen

$$\cos\angle(\vec{n}_1, \vec{n}_2) = \frac{\vec{n}_1 \circ \vec{n}_2}{|\vec{n}_1| \cdot |\vec{n}_2|}$$

Durchstoßpunkt

$$\begin{aligned}\vec{r}(t) &= \vec{r}_G + t\vec{a} \\ \vec{r}_s &= \vec{r}_G + \frac{\vec{n} \circ (\vec{r}_1 - \vec{r}_G)}{\vec{n} \circ \vec{a}}\vec{a} \\ \varphi &= \arcsin\left(\frac{|\vec{n} \circ \vec{a}|}{|\vec{n}| \cdot |\vec{a}|}\right)\end{aligned}$$

Kapitel 4

Differentialrechnung

4.1 Differntialrechnung

4.1.1 Erste Ableitungen der elementaren Funktionen

Potenzfunktion

$$x^n \iff n \cdot x^{n-1}$$

Exponentialfunktionen

$$e^x \iff e^x$$
$$a^x \iff \ln a \cdot a^x$$

Logarithmusfunktionen

$$\ln x \iff \frac{1}{x}$$
$$\log_a x \iff \frac{1}{(\ln a) \cdot x}$$

Trigonometrische Funktionen

$$\sin x \iff \cos x$$
$$\cos x \iff -\sin x$$
$$\tan x \iff \frac{1}{\cos^2 x}$$
$$\tan x \iff 1 + \tan^2 x$$

Arcusfunktionen

$$\arcsin x \iff \frac{1}{\sqrt{1-x^2}}$$
$$\arccos x \iff \frac{-1}{\sqrt{1-x^2}}$$
$$\arctan x \iff \frac{1}{1-x^2}$$

Hyperbolische Funktionen

$$\sinh x \iff \cosh x$$
$$\cosh x \iff \sinh x$$
$$\tanh x \iff \frac{1}{\cosh^2 x}$$
$$\tanh x \iff 1 + \tanh^2 x$$

4.1.2 Rechenregeln

Faktorregel

$$\frac{\mathrm{d}}{\mathrm{d}x}\left(C \cdot f(x)\right) = C \cdot f'(x)$$

Summenregel

$$\frac{\mathrm{d}}{\mathrm{d}x}\left(g(x) + f(x)\right) = g'(x) + f'(x)$$

Produktregel

$$\frac{\mathrm{d}}{\mathrm{d}x}\left(g(x) \cdot f(x)\right) = g'(x) \cdot f(x) + g(x) \cdot f'(x)$$
$$\frac{\mathrm{d}}{\mathrm{d}x}\left(h(x) \cdot g(x) \cdot f(x)\right) = h' \cdot g \cdot f + h \cdot g' \cdot f + h \cdot g \cdot f'$$

Quotientenregel

$$\frac{\mathrm{d}}{\mathrm{d}x}\left(\frac{g(x)}{f(x)}\right) = \frac{g'(x) \cdot f(x) - g(x) \cdot f'(x)}{f(x)^2}$$

Kettenregel

$$\frac{\mathrm{d}}{\mathrm{d}x}\left(g\left(f(x)\right)\right) = g'(f) \cdot f'(x)$$

Logarithmische Ableitungen

$$\frac{\mathrm{d}}{\mathrm{d}x} y = f(x)$$
$$\frac{1}{y} y' = \frac{\mathrm{d}}{\mathrm{d}x} \ln f(x)$$

4.1.3 Fehlerrechnung

Absoluter Fehler

Δx Absoluter Fehler der Eingangsgröße
Δy Absoluter Fehler der Ausgangsgröße

$$\Delta y = f(x + \Delta x) - f(x)$$

Relativer Fehler

δx Relativer Fehler der Eingangsgröße in %
δy Relativer Fehler der Ausgangsgröße in %

$$\delta x = \frac{\Delta x}{x}$$
$$\delta y = \frac{\Delta y}{y}$$
$$\Delta y = f'(x) \cdot \Delta x$$
$$\delta y = \frac{x \cdot f'(x)}{f(x)} \delta x$$

4.1.4 Linearisierung und Taylor-Polynom

Tangentengleichung

x_0 Punkt an dem das Polynom entwickelt wird

$$y_T(x) = f(x_0) + f'(x_0)(x - x_0)$$

Taylor Polynom

x_0 Punkt an dem das Polynom entwickelt wird
R_n Restglied

$$y(x) = f(x_0) + f'(x_0)(x - x_0) + \frac{f''(x_0)}{2!}(x - x_0)^2 + \cdots + \frac{f^{(n)}(x_0)}{n!}(x - x_0)^n + R_n(x)$$
$$y(x) = \sum_{i=0}^{n} \frac{f^{(i)}}{i!}(x - x_0)^i + R_n(x)$$

Restglied

x_0 Punkt an dem das Polynom entwickelt wird
$x_0 < c < x$, wenn $x_0 < x$
$x_0 > c > x$, wenn $x_0 > x$

$$R_n(x) = \frac{f^{(n+1)}(c)}{(n+1)!}(x - x_0)^{n+1}$$

4.1.5 Grenzwertregel von Bernoulli und de l'Hospital

de l'Hospital

Gilt nur wenn $\lim\limits_{x \to x_0} f(x)$ gleich $\frac{0}{0}$ oder $\frac{\infty}{\infty}$ ist

$$\lim_{x \to x_0} \frac{f(x)}{g(x)} = \lim_{x \to x_0} \frac{f'(x)}{g'(x)}$$

4.1.6 Differentielle Kurvenuntersuchung

Normale der Kurve

$$y_N(x) = f(x_0) - \frac{1}{f'(x)}(x - x_0)$$

Monotonie-Verhalten

$$f'(x) = \begin{cases} > 0 \text{ Monoton wachsend} \\ < 0 \text{ Monoton fallend} \end{cases}$$

Krümmungs-Verhalten

$$f''(x) = \begin{cases} > 0 \text{ Linkskr.(konvex)} \\ < 0 \text{ Rechtskr.(konkav)} \end{cases}$$

Ableitung in Polarkordinaten

$\dot{r}$ Ableitung nach φ
$\ddot{r}$ Zweite Ableitung nach φ

$$\begin{aligned} y(\varphi) &= r(\varphi)\sin\varphi \\ x(\varphi) &= r(\varphi)\cos\varphi \\ y' &= \frac{\mathrm{d}y}{\mathrm{d}x} = \frac{r'\sin\varphi + r\cos\varphi}{r'\cos\varphi - r\sin\varphi} \\ y'' &= \frac{\mathrm{d}^2y}{\mathrm{d}x^2} = \frac{2(r')^2 - r \cdot r'' + r^2}{(r'\cos\varphi - r\sin\varphi)^3} \end{aligned}$$

Ableitung in Parameterform

$\dot{x}$ Ableitung nach t
$\dot{y}$ Ableitung nach t

$$\begin{aligned} y &= y(t) \\ x &= x(t) \\ y' &= \frac{\mathrm{d}y}{\mathrm{d}x} = \frac{\dot{y}}{\dot{x}} \\ y'' &= \frac{\mathrm{d}^2y}{\mathrm{d}x^2} = \frac{\dot{x}\ddot{y} - \dot{y}\ddot{x}}{\dot{x}^3} \end{aligned}$$

Bogendifferential

"Wegelement" einer Funktion

$$\begin{aligned} \mathrm{d}s &= \sqrt{1 + (f'(x))^2} \cdot \mathrm{d}x \\ \mathrm{d}s &= \sqrt{(\dot{x})^2 + (\dot{y})^2} \cdot \mathrm{d}t \\ \mathrm{d}s &= \sqrt{r^2 + (r')^2} \cdot \mathrm{d}\varphi \end{aligned}$$

Winkeländerung

$$\begin{aligned} \tau &= \arctan y' \\ \mathrm{d}\tau &= \frac{y''}{1 + (y')^2} \cdot \mathrm{d}x \end{aligned}$$

Krümmungskreis

$$\rho = \frac{1}{|\kappa|}$$
$$x_K = x_P - y' \frac{1 + (y')^2}{|y''|}$$
$$y_K = y_P + \frac{1 + (y')^2}{|y''|}$$

- ρ Radius des Krümmungskreises
- x_K x-Koordinaten des Kreismittelpunktes
- y_K y-Koordinaten des Kreismittelpunktes
- x_P x-Koordinaten des Kurvenpunktes
- y_P y-Koordinaten des Kurvenpunktes

Kurvenkrümmung

$$\kappa = \frac{\mathrm{d}\tau}{\mathrm{d}s}$$
$$\kappa = \frac{y''}{\sqrt{\left(1 + (y')^2\right)^3}}$$
$$\kappa = \frac{\dot{x}\ddot{y} - \dot{y}\ddot{x}}{\sqrt{\left(\dot{x}^2 + \dot{y}^2\right)^3}}$$
$$\kappa = \frac{2(r')^2 - r \cdot r'' + r^2}{\sqrt{\left(r^2 + (r')^2\right)^3}}$$

4.2 Differentialgleichungen

Anfangswertproblem:	Werte nur an einer Stelle vorgegeben
Randwertproblem:	Werte an mehreren Stellen vorgegeben

Lineare DG

$$y_{all} = y_h + y_p$$

4.2.1 DG 1. Ordnung

Trennung der variablen

$$y'(x) = f(x) \cdot g(y)$$
$$\int \frac{\mathrm{d}y}{g(y)} = \int f(x)\,\mathrm{d}x$$

Lineare DG

$$y' + f(x) \cdot g(y) = g(x) g(x) = 0 \Rightarrow \text{homogen}$$

$$y_{all} = e^{-F(x)} \cdot \left(\int g(x) \cdot e^{F(x)}\,\mathrm{d}x + C \right)$$

4.2.2 Lineare DG 2. Ordnung

Darstellung

$$a(x) \cdot y'' + b(x) \cdot y' + c(x) \cdot y = g(x)$$
$$g(x) = 0 \Rightarrow \text{homogen}$$

Fundamental Lösungen

$$a\lambda^2 + b\lambda + c = 0$$
$$\lambda_{1/2} = \alpha \pm \beta \cdot j$$

$$y_h = C_1 e^{\lambda_1 x} + C_2 e^{\lambda_2 x} \quad \lambda_1 \neq \lambda_2$$
$$y_h = C_1 e^{\lambda_1 x} + C_2 x e^{\lambda_2 x} \quad \lambda_1 = \lambda_2$$
$$y_h = C_1 e^{\alpha x} \cdot \cos(\beta x)$$
$$+ C_2 e^{\alpha x} \cdot \sin(\beta x)$$

In Folgenden Aufzählungen gillt:

- $G(x)$ Ansatz
- $g(x)$ Störglied
- r Anzahl der Resonanzfälle

Partikuläre Lösungen(Polynom)

$$a\lambda^2 + b\lambda + c = 0$$
$$g(x) = b_0 + b_1 x + b_2 x^2 + \cdots + b_n x^n$$
$$G(x) = B_0 + B_1 x + B_2 x^2 + \cdots + B_n x^n \qquad \lambda \neq 0$$
$$G(x) = \left(B_0 + B_1 x + B_2 x^2 + \cdots + B_n x^n\right) \cdot x^r \qquad \lambda = 0$$

Partikuläre Lösungen(Polynom und e-Funktion)

$$a\lambda^2 + b\lambda + c = 0$$
$$g(x) = \left(b_0 + b_1 x + b_2 x^2 + \cdots + b_n x^n\right) e^{mx}$$
$$G(x) = \left(B_0 + B_1 x + B_2 x^2 + \cdots + B_n x^n\right) e^{mx} \qquad \lambda \neq m$$
$$G(x) = \left(B_0 + B_1 x + B_2 x^2 + \cdots + B_n x^n\right) e^{mx} \cdot x^r \qquad \lambda = m$$

Partikuläre Lösungen(sin- und cos Funktion)

$$a\lambda^2 + b\lambda + c = 0$$
$$g(x) = a\cos(kx) + b\sin(kx)$$
$$G(x) = A\cos(kx) + B\sin(kx) \qquad \lambda \neq \pm kj$$
$$G(x) = A\cos(kx) + B\sin(kx) \cdot x^r \qquad \lambda = \pm kj$$

Partikuläre Lösungen(e-, sin- und cos Funktion)

$$0 = a\lambda^2 + b\lambda + c$$
$$g(x) = \left(b_0 + b_1 x + b_2 x^2 + \cdots + b_n x^n\right) e^{mx} \cdot (c\cos(kx) + d\sin(kx))$$
$$G(x) = \left(B_0 + B_1 x + B_2 x^2 + \cdots + B_n x^n\right) e^{mx} \cdot (C\cos(kx) + D\sin(kx))$$
$$\lambda \neq m \pm kj$$
$$G(x) = \left(B_0 + B_1 x + B_2 x^2 + \cdots + B_n x^n\right) e^{mx} \cdot (C\cos(kx) + D\sin(kx)) \cdot x^r$$
$$\lambda = m \pm kj$$

Kapitel 5

Folgen und Reihen

Kapitel 6

Interpolation

Teil II

Physik

Kapitel 7

Kinematik

Perfection is achieved
only on the point of collapse.
- C. N. Parkinson

7.1 Analogietabelle

Translation		Rotation
$\vec{s}$		$\vec{\varphi}$
$\downarrow \frac{ds}{dt}$		$\downarrow \frac{d\varphi}{dt}$
$\vec{v}$	$\vec{v} = \vec{\omega} \times \vec{r}$	$\vec{\omega}$
$\downarrow \frac{dv}{dt}$		$\downarrow \frac{d\omega}{dt}$
$\vec{a}$	$a = \underbrace{\alpha \times r}_{a_{Tan}} - \underbrace{\omega^2 r}_{a_R}$	$\vec{\alpha}$
m		J
$\downarrow \frac{dm}{dt}$		$\downarrow \frac{dJ}{dt}$
$\vec{F}$		$\vec{M}$
$\downarrow \frac{dF}{dt}$		$\downarrow \frac{dM}{dt}$
$\vec{p}$		$\vec{L}$
$\frac{m}{2}v^2$	E_{kin}	$\frac{J}{2}\omega^2$

7.1.1 Translation

$$a(t) = a_0 = \frac{\mathrm{d}v}{\mathrm{d}t} = \dot{v} = \ddot{s}$$
$$v(t) = a_0 \cdot t + v_0 = \frac{\mathrm{d}s}{\mathrm{d}t} = \dot{s}$$
$$s(t) = \frac{1}{2}a_0 \cdot t^2 + v_0 \cdot t + s_0$$

Bahngroessen

$$a_t(t) = a_0 = \frac{\mathrm{d}v}{\mathrm{d}t} = \dot{v} = \ddot{s}$$
$$v(t) = a_0 \cdot t + v_0 = \frac{\mathrm{d}s}{\mathrm{d}t} = \dot{s}$$
$$s(t) = \frac{1}{2}a_0 \cdot t^2 + v_0 \cdot t + s_0$$

Kreisfrequenz

$$\begin{aligned} \omega &= \frac{2 \cdot \pi}{T} \\ &= 2 \cdot \pi \cdot n \\ &= 2 \cdot \pi \cdot f \end{aligned}$$

Umdrehungen

$$\begin{aligned} N &= \frac{\omega_0 \cdot t}{2 \cdot \pi} + \frac{1}{2} \cdot \frac{\alpha}{2 \cdot \pi} \cdot t^2 \\ &= n_0 \cdot t + \frac{\alpha}{4 \cdot \pi} \cdot t^2 \end{aligned}$$

7.1.2 Rotation

$$\alpha(t) = \alpha_0 = \frac{\mathrm{d}\omega}{\mathrm{d}t} = \dot{\omega} = \ddot{\varphi}$$
$$\omega(t) = \alpha_0 \cdot t + \omega_0 = \frac{\mathrm{d}\varphi}{\mathrm{d}t} = \dot{\varphi}$$
$$\varphi(t) = \frac{1}{2}\alpha_0 \cdot t^2 + \omega_0 \cdot t + \varphi_0$$

Winkelgroessen

$$\begin{aligned} \vec{a_t} &= \vec{\alpha} \times \vec{r} = \alpha \cdot r && \alpha \perp r \\ \vec{\alpha} &= \vec{r} \times \vec{a_t} \\ \vec{v} &= \vec{\omega} \times \vec{r} = \omega \cdot r && \omega \perp r \\ \vec{\omega} &= \vec{r} \times \vec{v} \\ s &= \varphi \cdot r \end{aligned}$$

Radialbeschleunigung

$$\begin{aligned} a_r &= \frac{v^2}{r} \\ &= v \cdot \omega \\ &= \omega^2 \cdot r \end{aligned}$$

7.2 Dynamik

7.2.1 Geradlinig (Translation)

$$\vec{F} = m \cdot \vec{a}$$
$$\vec{F}_{\mathrm{Tr}} = -m \cdot \vec{a}$$

Impuls

$$\vec{p} = m \cdot \vec{v}$$

Kraftstoss

$$\vec{F} = \frac{\mathrm{d}\vec{p}}{\mathrm{d}t} = m \cdot \frac{\mathrm{d}\vec{v}}{\mathrm{d}t} + \vec{v} \cdot \frac{\mathrm{d}m}{\mathrm{d}t}$$
$$\Delta\vec{p} = \vec{p}_2 - \vec{p}_1 = \int_{\vec{p}_2}^{\vec{p}_1} \mathrm{d}p = \int_0^t \vec{F}\,\mathrm{d}t$$

Arbeit

$$W = -\int_{\vec{s}_1}^{\vec{s}_2} \vec{F}_{\mathrm{Tr}} \circ \mathrm{d}\vec{s} = \int_{\vec{v}_0}^{\vec{v}_1} m\vec{v} \circ \mathrm{d}\vec{v} = \frac{1}{2} m \left(v_1^2 - v_0^2\right)$$

Hubarbeit

$$W_{\mathrm{hub}} = mgh$$

Kinetische Energie

$$E_{\mathrm{kin}} = \frac{1}{2} m v^2$$

Leistung

$$P = \vec{F} \circ \vec{v} = \frac{\mathrm{d}W}{\mathrm{d}t} = \dot{W}$$

7.2.2 Drehbewegung(Rotation)

Massentraegheitsmoment

$$J = \int r^2\,\mathrm{d}m$$

Drehmoment

$$\vec{M} = \vec{r} \times \vec{F} = J\vec{\alpha} = \dot{\vec{L}}$$

Drehimpuls

$$\vec{L} = \vec{r} \times \vec{p} = J \cdot \vec{\omega}$$

Kinetische Energie

$$E_{kin} = \frac{1}{2} J \omega^2$$

Arbeit

$$
\begin{aligned}
W &= \int_{\varphi_0}^{\varphi_1} \vec{M} \circ \vec{e_\omega}\,\mathrm{d}\varphi \\
&= \int_{\vec{\omega}_0}^{\vec{\omega}_1} J\vec{\omega}\,\mathrm{d}\vec{\omega} \\
&= \frac{1}{2} J \left(\omega_1^2 - \omega_0^2\right)
\end{aligned}
$$

Leistung

$$P = \vec{M} \circ \vec{\omega}$$

Zentripedalkraft

$$
\begin{aligned}
F_{zp} &= -m \cdot \omega^2 \cdot r \\
&= -m \cdot v^2 \cdot \frac{\vec{e_r}}{r}
\end{aligned}
$$

7.2.3 Geneigte Ebene

Kräfte

$$
\begin{aligned}
\vec{F}_N &= \vec{F}_G \cos\alpha \\
\vec{F}_H &= \vec{F}_G \sin\alpha
\end{aligned}
$$

7.2.4 Reibung

Reibungskraft

$$F_R = \mu \cdot F_N$$

Rollreibung

$$
\begin{aligned}
M &= f \cdot F_N \\
F_R &= \frac{f}{r} \cdot F_N
\end{aligned}
$$

7.2.5 Feder

HOOKsches Gesetz

$$
\begin{aligned}
F &= -kx \\
M &= D\varphi
\end{aligned}
$$

Federspannarbeit

$$
\begin{aligned}
W &= \int_{x_{\min}}^{x_{\max}} F\,\mathrm{d}x = \int_{x_{\min}}^{x_{\max}} kx\,\mathrm{d}x \\
&= \frac{1}{2} \cdot k \cdot \left(x_{\max}^2 - x_{\min}^2\right)
\end{aligned}
$$

7.2.6 Elastischer Stoss

$$\text{Energie vor den Stoß} = \text{Energie nach den Stoß}$$
$$\sum E_{\text{kin}} = \sum E'_{\text{kin}}$$

Impulserhaltung

$$\text{Impuls vor den Stoß} = \text{Impuls nach den Stoß}$$
$$\sum m\vec{v} = \sum m\vec{v}'$$

Zentraler, Gerader, Elastischer Stoss

$$\begin{aligned}\frac{1}{2}m_1v_1^2 + \frac{1}{2}m_2v_2^2 &= \frac{1}{2}m_1v_1'^2 + \frac{1}{2}m_2v_2'^2 \\ m_1v_1 + m_2v_2 &= m_1v_1' + m_2v_2'\end{aligned}$$

$$\begin{aligned}v_2' &= \frac{2m_1}{m_1+m_2}v_1 + \frac{m_2-m_1}{m_1+m_2}v_2 \\ v_1' &= \frac{2m_2}{m_1+m_2}v_2 + \frac{m_1-m_2}{m_1+m_2}v_1\end{aligned}$$

7.2.7 Unelastischer Stoss

Energieerhaltung

$$\text{Energie vor den Stoß} = \text{Energie nach den Stoß} + \text{Arbeit}$$
$$\sum E_{\text{kin}} = \sum E'_{\text{kin}} + \Delta W$$

Impulserhaltung

$$\text{Impuls vor den Stoß} = \text{Impuls nach den Stoß}$$
$$\sum m\vec{v} = \sum m\vec{v}'$$

Total unelastischer Stoss

$$\frac{1}{2}m_1v_1^2 + \frac{1}{2}m_2v_2^2 = \frac{1}{2}\left(m_1+m_2\right)v'^2 + \Delta W$$
$$m_1v_1 + m_2v_2 = \left(m_1+m_2\right)v'$$

$$v' = \frac{m_1v_1 + m_2v_2}{m_1+m_2}$$

$$\Delta W = \frac{m_1 \cdot m_2}{2\left(m_1+m_2\right)}\left(v_1-v_2\right)^2$$

Drehimpulserhaltungssatz

$$\text{Drehinpuls zur Zeit 1} = \text{Drehimpuls zur Zeit 2}$$
$$\sum \vec{L} = \sum \vec{L}'$$

Kopplung zweier Rotationskörper

$$\vec{\omega}' = \frac{J_0\vec{\omega}_0 + J_1\vec{\omega}_1}{J_1+J_2}$$
$$W = \frac{J_0 \cdot J_1}{2\left(J_0+J_1\right)}\left(\omega_0-\omega_1\right)^2$$

7.2.8 Rotierendes Bezugssystem

Zentrifugalkraft

$$\vec{F}_Z = F_r \cdot \vec{e}_r = -m\vec{\omega} \times (\vec{\omega} \times \vec{r})$$
$$= -m\vec{\omega} \times \vec{v}$$

$$F_Z = -m\frac{v^2}{r} = -m\omega^2 r$$

Corioliskraft

$$\vec{F}_C = -2m\vec{\omega} \times \vec{v}$$

7.3 Schwerpunkt

mehrere Punktmassen

$$\vec{r}_{\mathrm{Sp}} = \frac{\sum \vec{r}_i m_i}{\sum \ m_i}$$

Allgemein

$$\vec{r}_{\mathrm{Sp}} = \frac{\int \vec{r}\,\mathrm{d}m}{\int \mathrm{d}m}$$

Schwerpunkt in Zylinderkoordinaten

$$r_{\mathrm{Sp}} = \frac{\int_z \int_\varphi \int_r r^2 \rho \,\mathrm{d}r\,\mathrm{d}\varphi\,\mathrm{d}z}{\int_z \int_\varphi \int_r r \rho \,\mathrm{d}r\,\mathrm{d}\varphi\,\mathrm{d}z}$$

$$\varphi_{\mathrm{Sp}} = \frac{\int_z \int_\varphi \int_r \varphi r \rho \,\mathrm{d}r\,\mathrm{d}\varphi\,\mathrm{d}z}{\int_z \int_\varphi \int_r r \rho \,\mathrm{d}r\,\mathrm{d}\varphi\,\mathrm{d}z}$$

$$z_{\mathrm{Sp}} = \frac{\int_z \int_\varphi \int_r z r \rho \,\mathrm{d}r\,\mathrm{d}\varphi\,\mathrm{d}z}{\int_z \int_\varphi \int_r r \rho \,\mathrm{d}r\,\mathrm{d}\varphi\,\mathrm{d}z}$$

$$x = r\cos\varphi \quad y = r\sin\varphi \quad z = z$$

Schwerpunkt in karthesischen Koordinaten

$$x_{\mathrm{Sp}} = \frac{\int_z \int_y \int_x x \rho \,\mathrm{d}x\,\mathrm{d}y\,\mathrm{d}z}{\int_z \int_y \int_x \rho \,\mathrm{d}x\,\mathrm{d}y\,\mathrm{d}z}$$

$$y_{\mathrm{Sp}} = \frac{\int_z \int_y \int_x y \rho \,\mathrm{d}x\,\mathrm{d}y\,\mathrm{d}z}{\int_z \int_y \int_x \rho \,\mathrm{d}x\,\mathrm{d}y\,\mathrm{d}z}$$

$$z_{\mathrm{Sp}} = \frac{\int_z \int_y \int_x z \rho \,\mathrm{d}x\,\mathrm{d}y\,\mathrm{d}z}{\int_z \int_y \int_x \rho \,\mathrm{d}x\,\mathrm{d}y\,\mathrm{d}z}$$

7.4 Trägheitsmoment

$$J = \sum m_i r_i^2$$
$$J = \int_m r^2 \, \mathrm{d}m$$
$$J = \int_z \int_\varphi \int_r r^3 \rho \, \mathrm{d}r \, \mathrm{d}\varphi \, \mathrm{d}z$$

STEINER'scher Satz

$$J_x = mr^2 + J_s$$

Traegheitsmoment Kugel

$$J_{\mathrm{Sp}} = \frac{2}{5} mr^2$$

Traegheitsmoment Zylinder

$$J_{\mathrm{Sp}} = \frac{1}{2} mr^2$$

Traegheitmoment Kreisring (Torus)

$$J_{\mathrm{Sp}} = mr^2$$

Traegheitsmoment Stab

$$J_{\mathrm{Sp}} = \frac{1}{12} ml^2$$

7.5 Elastizitaetslehre

Spannung

$$\vec{\sigma} = \frac{\mathrm{d}\vec{F}_n}{\mathrm{d}A}$$

$$\sigma = E\varepsilon = E\frac{\Delta l}{l}$$

$$\vec{\tau} = \frac{\mathrm{d}\vec{F}_t}{\mathrm{d}A}$$

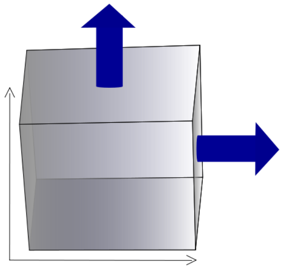

Schubmodul

$$G = \frac{\tau}{\varphi}$$

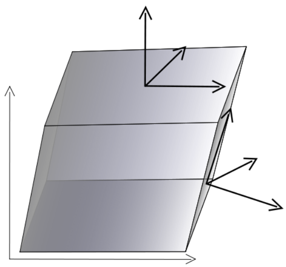

Drillung

$$\psi = \frac{\mathrm{d}\varphi}{\mathrm{d}l} = \frac{W_t}{G \cdot J_p}\tau = \frac{M_t}{G \cdot J_p}$$

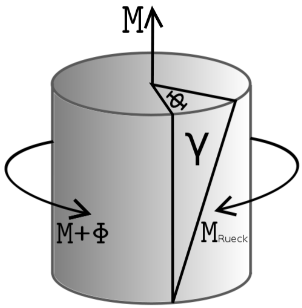

Flaechenmoment

$$J_p = \int r^2 \,\mathrm{d}A = \int_\varphi \int_r r^3 \,\mathrm{d}r \,\mathrm{d}\varphi$$

Verformungsarbeit

$$W = V \int \sigma(\varepsilon) \,\mathrm{d}\varepsilon$$

7.6 Schwingungen

Harmonische Schwingungen

$$u(t) = A\cos(\omega t + \varphi_0)$$

7.6.1 Ungedämpfte Schwingungen

$$\begin{aligned}
\ddot{x} &= -\frac{k}{m}x \\
x(t) &= \hat{x}\cos(\omega_0 t + \varphi_0) \\
\dot{x}(t) &= -\hat{x}\omega\sin(\omega_0 t + \varphi_0) \\
\ddot{x}(t) &= -\hat{x}\omega^2\cos(\omega_0 t + \varphi_0) \\
\omega &= \sqrt{\frac{k}{m}} \\
f &= \frac{1}{2\pi}\sqrt{\frac{k}{m}} \\
T &= 2\pi\sqrt{\frac{m}{k}}
\end{aligned}$$

Mathemetisches Pendel

$$\begin{aligned}
\ddot{\varphi} &= -\frac{g}{l}\varphi \\
\varphi(t) &= \hat{\varphi}\cos(\omega_0 t + \varphi_0) \\
\dot{\varphi}(t) &= -\hat{\varphi}\omega\sin(\omega_0 t + \varphi_0) \\
\ddot{\varphi}(t) &= -\hat{\varphi}\omega^2\cos(\omega_0 t + \varphi_0) \\
\omega &= \sqrt{\frac{g}{l}} \\
f &= \frac{1}{2\pi}\sqrt{\frac{g}{l}} \\
T &= 2\pi\sqrt{\frac{l}{g}}
\end{aligned}$$

Physikalisches Pendel

$$\begin{aligned}
\ddot{\varphi} &= -\frac{lmg}{J_A}\varphi \\
\varphi(t) &= \hat{\varphi}\cos(\omega_0 t + \varphi_0) \\
\dot{\varphi}(t) &= -\hat{\varphi}\omega\sin(\omega_0 t + \varphi_0) \\
\ddot{\varphi}(t) &= -\hat{\varphi}\omega^2\cos(\omega_0 t + \varphi_0) \\
\omega &= \sqrt{\frac{mgl}{J_A}} \\
f &= \frac{1}{2\pi}\sqrt{\frac{mgl}{J_A}} \\
T &= 2\pi\sqrt{\frac{J_A}{mgl}}
\end{aligned}$$

Torsionsschwingung

$$\ddot{\varphi} = -\frac{D}{J_A}\varphi$$
$$\varphi(t) = \hat{\varphi}\cos(\omega_0 t + \varphi_0)$$
$$\dot{\varphi}(t) = -\hat{\varphi}\omega\sin(\omega_0 t + \varphi_0)$$
$$\ddot{\varphi}(t) = -\hat{\varphi}\omega^2\cos(\omega_0 t + \varphi_0)$$
$$\omega = \sqrt{\frac{D}{J_A}}$$
$$f = \frac{1}{2\pi}\sqrt{\frac{D}{J_A}}$$
$$T = 2\pi\sqrt{\frac{J_A}{D}}$$

Flüssigkeitspendel

$$\ddot{y} = -\frac{2A\rho g}{m}y$$
$$\varphi(t) = \hat{y}\cos(\omega_0 t + \varphi_0)$$
$$\dot{\varphi}(t) = -\hat{y}\omega\sin(\omega_0 t + \varphi_0)$$
$$\ddot{\varphi}(t) = -\hat{y}\omega^2\cos(\omega_0 t + \varphi_0)$$
$$\omega = \sqrt{\frac{2A\rho g}{m}} = \sqrt{\frac{2g}{l}}$$
$$f = \frac{1}{2\pi}\sqrt{\frac{2g}{l}}$$
$$T = 2\pi\sqrt{\frac{l}{2g}}$$

Elektrischer Schwingkreis

$$0 = L\ddot{Q} + \frac{Q}{C}$$
$$q(t) = \hat{Q}\cos(\omega_0 t + \varphi_0)$$
$$\dot{q}(t) = -\hat{Q}\omega\sin(\omega_0 t + \varphi_0)$$
$$\ddot{q}(t) = -\hat{Q}\omega^2\cos(\omega_0 t + \varphi_0)$$
$$\omega = \sqrt{\frac{1}{LC}}$$
$$f = \frac{1}{2\pi}\sqrt{\frac{1}{LC}}$$
$$T = 2\pi\sqrt{\frac{1}{LC}}$$

7.6.2 Gedaempfte Schwingungen

Schwingungsgleichung

$$m\ddot{x} = -kx + F_R$$

COULOMB Reibung

$$F_R = -\operatorname{sgn}(\dot{x})\mu F_N$$
$$0 = m\ddot{x} + kx + \operatorname{sgn}(\dot{x})\mu F_N$$

Gleitreibung

$$x(t) = -(\hat{x}_0 - \hat{x}_1)\cos(\omega t) - \hat{x}_1 \qquad 0 \le t \le \frac{T}{2}$$

$$x(t) = -(\hat{x}_0 - 3\hat{x}_1)\cos(\omega t) + \hat{x}_1 \qquad \frac{T}{2} \le t \le T$$

$$\hat{x}_1 = \frac{\mu F_N}{k}$$

Viskosereibung

$$d = 2D$$

$$Q = \frac{1}{d}$$

$$0 = m\ddot{x} + b\dot{x} + kx$$

$$x(t) = \hat{x}e^{-\delta t}e^{\pm j\sqrt{\omega_0^2-\delta^2}t}$$

$$x(t) = \hat{x}e^{-\delta t}e^{\pm j\omega_0\sqrt{1-D^2}t}$$

$$x(t) = \hat{x}e^{-\delta t}\cos(\sqrt{\omega_0^2 - \delta^2}t + \varphi)$$

$$\delta = \frac{b}{2m}$$

$$D = \frac{\delta}{\omega_0}$$

$$D = \frac{b}{2}\frac{1}{\sqrt{mk}}$$

Aperiodischer Grenzfall $\delta = \omega_0$

$$x(t) = \hat{x}e^{-\delta t}(1 - \delta t)$$

$$\omega_0 = \sqrt{\frac{k}{m}}$$

$$\Lambda = \ln\left(\frac{x(t)}{x(t+T)}\right)$$

$$\Lambda = \delta T$$

Kriechfall $\delta > \omega_0$

$$x(t) = \hat{x}e^{-\delta t}e^{\pm j\sqrt{\omega_0^2-\delta^2}t}$$

$$\omega_D = \sqrt{\frac{k}{m} - \left(\frac{b}{2m}\right)^2}$$

Kapitel 8

Fluiddynamik

Premature optimization
is the root of all evil.
- D. Knuth

On the other hand,
we cannot ignore efficiency.
- Jon Bentley

8.1 Ohne Reibung

Statischer Druck

$$p = \frac{\mathrm{d}F_N}{\mathrm{d}A}$$

Dynamischer Druck

$$p = \frac{1}{2}\rho v^2$$

Schweredruck

$$\begin{aligned} p &= \frac{\rho V g}{A} \\ &= h\rho g \end{aligned}$$

Volumenstrom

$$\begin{aligned} \dot{V} &= vA \\ &= \iint_A \vec{v}\,\mathrm{d}\vec{A} \\ &= \frac{\mathrm{d}V}{\mathrm{d}t} \\ &= Q \end{aligned}$$

Massenstrom

$$\begin{aligned} \dot{m} &= jA \\ &= \iint_A \vec{j}\,\mathrm{d}\vec{A} \\ &= \frac{\mathrm{d}m}{\mathrm{d}t} \end{aligned}$$

Auftrieb

$$\begin{aligned} \vec{F_A} &= -\rho_V \vec{g} V \\ &= -\frac{\rho_V}{\rho_M}\vec{F_G} \end{aligned}$$

Kontinuitätsgleichung

$$\dot{m}|_1 = \dot{m}|_2 \qquad \dot{V}\Big|_1 = \dot{V}\Big|_2$$

$$v_1 A_1 = v_2 A_2 \qquad \rho_1 = \rho_2$$

Kompressibilität

$$\kappa = \frac{\Delta V}{\Delta p V}$$

Volumenausdehnungskoeffezient

$$\frac{\Delta V}{V} = \gamma \Delta T$$

Barometrische Höhenformel

$$p = p_0 e^{-Ch}$$
$$C = \frac{\rho_0 g}{p_0}$$

Bernoulli Gleichung

$$p + \frac{1}{2}\rho v^2 + \rho g h = \text{const}$$

8.2 Laminare Reibung

Newtonsches Reibungsgesetz

$$F_R = \eta A \frac{\mathrm{d}v}{\mathrm{d}x}$$

Laminare Strömung (Rohr)

$$v(r) = \frac{p}{4\eta l}\left(R^2 - r^2\right)$$
$$p = \frac{4\eta l}{R^2} v(0)$$
$$\dot{V} = \frac{\pi R^4}{8\eta l} p$$

Umströmung (Kugel)

$$F_R = 6\pi\eta r v$$

Bernoulligleichung mit Reibung

$$p_1 + \frac{1}{2}\rho v_1^2 + \rho g h_1$$
$$= p_2 + \frac{1}{2}\rho v_2^2 + \rho g h_2 + \Delta p$$

Reynoldszahl

$$Re = \frac{L\rho v}{\eta}$$
$$Re > Re_{krit}$$

Strömung wird Turbulent

Kapitel 9

Gravitation

The year is 787!
A.D.?
- Monty Python

Gravitationskraft

$$\vec{F}_{g,2} = -G\frac{m_1 m_2}{r_{12}^2}\vec{e}_r$$
$$\vec{F}_g = \vec{E}_g \cdot m = \vec{g}m$$

Gravitationspotential

$$\phi = -G\frac{M}{r}$$
$$\vec{E}_g = \mathrm{grad}\phi$$

Arbeit

$$W_{12} = -\int_{\vec{r}_1}^{\vec{r}_2} \vec{F}_g \circ \mathrm{d}\vec{r} = GmM\left(\frac{1}{r_1} - \frac{1}{r_2}\right)$$

Planetenbahnen

$$\left(\frac{a}{a_E}\right)^3 = \left(\frac{T}{T_E}\right)^2$$

Kapitel 10

Elektrostatik

Don't interrupt me
while I'm interrupting.
- Winston S. Churchill

Ladung

$$\begin{aligned} Q &= n \cdot e_0 \\ &= CU \\ &= \int i \,\mathrm{d}t \end{aligned}$$

Punktladungen

$$\vec{E}(\vec{r}) = \sum_{i=1}^{N} \vec{E}_i \vec{r}_i$$

COULOMB Gesetz

$$\begin{aligned} \vec{F}_{12} &= \frac{1}{4\pi\epsilon} \frac{Q_1 Q_2}{r^2} \vec{r_1}2 \\ &= \vec{E} Q \\ \vec{E} &= \frac{1}{4\pi\epsilon} \frac{Q}{r^2} \vec{r} \\ &= -\,\mathrm{grad}\varphi \\ &= -\left(\frac{\partial\varphi}{\partial x} \vec{e}_x + \frac{\partial\varphi}{\partial y} \vec{e}_y + \frac{\partial\varphi}{\partial z} \vec{e}_z \right) \end{aligned}$$

Spannung

$$\begin{aligned} U_{AB} =& \frac{W_{AB}}{Q} \\ =& \int_A^B \vec{E} \circ \mathrm{d}\vec{s} \\ =& \oint_s \vec{E} \circ \mathrm{d}\vec{s} = 0 \\ =& \varphi_A - \varphi_B \\ =& -\int_\infty^A \vec{E} \circ \mathrm{d}\vec{s} \\ & - \left(-\int_\infty^B \vec{E} \circ \mathrm{d}\vec{s} \right) \end{aligned}$$

El- / Verschiebungsfluß

$$\psi = \int_A \vec{E} \circ \mathrm{d}\vec{A}$$
$$\psi = \oint_A \vec{E} \circ \mathrm{d}\vec{A} = \frac{Q}{\epsilon}$$

Flußdichte

$$\vec{D} = \frac{\mathrm{d}Q}{\mathrm{d}A}\vec{e}_A$$
$$\vec{D} = \epsilon\vec{E}$$
$$Q = \oint_A D \,\mathrm{d}A$$

Kapazität

$$Q = CU$$

OHMsches Gesetz

$$\begin{aligned} I &= \oint_A \vec{j} \circ \mathrm{d}\vec{A} \\ &= \oint_A \kappa\vec{E} \circ \mathrm{d}\vec{A} \\ &= \underbrace{\kappa E \cdot 4\pi r^2}_{\text{Kugel}} \end{aligned}$$

Arbeit im elektrischem Feld

$$w = \frac{1}{2}\vec{E} \circ \vec{D}$$
$$\begin{aligned} W &= \int_V w \,\mathrm{d}V \\ &= -Q\int_A^B \vec{E} \circ \mathrm{d}\vec{s} \\ &= \int_U Q \,\mathrm{d}U \\ &= \int_U CU \,\mathrm{d}U \\ &= \frac{1}{2}CU^2 \end{aligned}$$

Kapitel 11

Thermodynamik

11.1 Wärmedehnung

$$\rho(T) = \rho_0(1 - \beta(T - T_0))$$
$$V(T) = V_0(1 + \gamma(T - T_0))$$
$$l(T) = l_0(1 + \alpha(T - T_0))$$
$$\gamma \approx 3 \cdot \alpha$$
$$\gamma \approx \beta$$

11.2 Wärme

$$\Delta Q = c \cdot m(T - T_0)$$
$$\Delta Q = C(T - T_0)$$
$$\Delta Q = \int_{T_0}^{T} c \cdot m \, \mathrm{d}T$$
$$\Delta Q = c_{mol} \cdot n(T - T_0)$$

11.3 Mischtemperatur

$$T_m = \frac{\sum_{i=1}^{n} T_i m_i c_i}{\sum_{i=1}^{n} m_i c_i}$$

$\dot{Q}$Ist durch einen mehrschichtiges stationäres System Konstant

11.4 Wärmeleitung

$$\dot{Q} = \frac{\mathrm{d}Q}{\mathrm{d}t} = \varPhi = P$$
$$\vec{\dot{q}} = \frac{\dot{Q}}{A} \cdot \vec{e_A}$$
$$\vec{\dot{q}} = -\lambda \, \mathrm{grad} T$$
$$\vec{\dot{q}} = \frac{\lambda}{s} (T_A - T_B) \cdot \vec{e_s}$$
$$\dot{q} = \frac{1}{\sum_{i=1}^{n} \frac{s_i}{\lambda_i}} \cdot (T_A - T_B)$$

11.5 Wärmekonvektion

$$\dot{q} = \alpha \, (T_A - T_B)$$
$$\dot{q} = \frac{1}{\sum_{i=1}^{n} \frac{1}{\alpha_i}} \cdot (T_A - T_B)$$

11.6 Wärmewiderstand

$$R_{th} = \frac{T_A - T_B}{\dot{q} \cdot A} = \frac{s}{\lambda A} = \frac{1}{\alpha A} = \sum_{i=1}^{n} R_i$$

11.6.1 Wärmeübertragung

$$k = \frac{1}{\sum_{i=1}^{n} \frac{s_i}{\lambda_i} + \sum_{i=1}^{n} \frac{1}{\alpha_i} + \sum_{i=1}^{n} R_i}$$

$$\dot{q} = \frac{1}{\sum_{i=1}^{n} \frac{s_i}{\lambda_i} + \sum_{i=1}^{n} \frac{1}{\alpha_i} + \sum_{i=1}^{n} R_i} \cdot (T_A - T_B)$$

$$\dot{q} = k \cdot (T_A - T_B)$$

11.6.2 Wärmestrahlung

$$\alpha = \varepsilon$$

$$1 = \alpha + \tau + \vartheta$$

$$\dot{Q} = \varepsilon A \sigma T^4$$

$$\dot{Q}_{AB} = C_{AB} A_A \left(T_A^4 - T_B^4\right)$$

$$C_{AB} = \varepsilon_{AB}\sigma = \frac{\sigma}{\frac{1}{\varepsilon_A} + \frac{1}{\varepsilon_B} - 1} = \frac{1}{\frac{1}{\sigma_A} + \frac{1}{\sigma_B} - \frac{1}{\sigma}} \qquad \text{Parallel}$$

$$C_{AB} = \frac{\sigma}{\frac{1}{\varepsilon_A} + \frac{A_A}{A_B}\left(\frac{1}{\varepsilon_B} - 1\right)} \qquad A_A \text{ von } A_B \text{ umschlossen}$$

$$C_{AB} \approx \varepsilon_A \sigma \qquad \text{parallel } (A_A \ll A_B)$$

11.6.3 Zustandsänderung des idealen Gases

Teilchen stehen nicht in Wechselwirkung, besitzen kein Volumen und es kommt zu keinem Phasenübergang

Energie

$$U_{12} = Q_{12} + W_{12}$$

Nur Isobar:

$$\mathrm{d}H = c_p m \,\mathrm{d}T = U + p\,\mathrm{d}V$$

$$\mathrm{d}S = \frac{\mathrm{d}Q}{T}$$

Zustandsgleichung

$$\frac{pV}{T} = \text{const}$$

$$pV = NkT = mR_sT = nRT$$

$$R_s = \frac{nR}{m}$$

$$R_s = c_p - c_v$$

Isotherm

$$\begin{aligned} pV &= \text{const} \\ T &= \text{const} \\ U_{12} &= 0 \\ U_{12} &= Q_{12} + W_{12} \\ Q_{12} &= -W_{12} \\ W_{12} &= p_1 V_1 \ln \frac{V_2}{V_1} \\ W_{12} &= p_1 V_1 \ln \frac{p_1}{p_2} \\ S_{12} &= mc_p \ln \frac{V_2}{V_1} + mc_V \ln \frac{p_2}{p_1} \end{aligned}$$

Isobar

$$\begin{aligned} \frac{V}{T} &= \text{const} \\ p &= \text{const} \\ Q_{12} &= mc_p \left(T_2 - T_1\right) \\ W_{12} &= -p \left(V_2 - V_1\right) \\ U_{12} &= Q_{12} + W_{12} \\ S_{12} &= mc_p \ln \frac{V_2}{V_1} \end{aligned}$$

Isochor

$$\begin{aligned} \frac{p}{T} &= \text{const} \\ V &= \text{const} \\ Q_{12} &= mc_v \left(T_2 - T_1\right) \\ W_{12} &= 0 \\ U_{12} &= Q_{12} \\ S_{12} &= mc_v \ln \frac{p_2}{p_1} \end{aligned}$$

Adiabat

$$\begin{aligned} pV^\kappa &= \text{const} \\ Q &= \text{const} \\ \kappa &= \frac{c_p}{c_V} \\ \frac{T_2}{T_1} &= \left(\frac{V_2}{V_1}\right)^{1-\kappa} = \left(\frac{p_2}{p_1}\right)^{\frac{\kappa-1}{\kappa}} \\ Q_{12} &= 0 \\ W_{12} &= mc_v \left(T_2 - T_1\right) \\ W_{12} &= \frac{RT_1}{\kappa - 1} \left(\left(\frac{V_2}{V_1}\right)^{1-\kappa} - 1 \right) \\ U_{12} &= W_{12} \\ S_{12} &= 0; \end{aligned}$$

Kreisprozess

$$\oint \mathrm{d}U = 0$$

$$\oint \mathrm{d}U = \oint \mathrm{d}Q + \oint \mathrm{d}W$$

$$\text{Revesiebel: } \oint \mathrm{d}S \qquad = 0$$

$$\text{Irrevesiebel } \oint \mathrm{d}S \qquad > 0$$

Carnot-Prozeß

$$\begin{aligned} \eta_C &= \frac{W_{ab}}{Q_{zu}} \\ \eta_C &= \frac{Q_{zu} - Q_{AB}}{Q_{zu}} \\ \eta_C &= \frac{T_h - T_n}{T_n} \end{aligned}$$

Kapitel 12

Optik

The path taken between two points by a ray of light
is the path that can be traversed in the least time.
- Pierre de Fermat

12.1 Brechung

$$\frac{\sin\varepsilon_1}{\sin\varepsilon_2} = \frac{n_2}{n_1} = \frac{c_1}{c_2}$$

$$\varepsilon_2 = \arcsin\frac{\sin\varepsilon_1 \cdot n_1}{n_2}$$

12.2 Totalreflexion

$$\sin\varepsilon_g = \frac{n_2}{n_1}$$

Totalreflexion tritt nur auf, wenn der Lichtstrahl von einen dichteren in ein optisch dünneren Stoff übergeht.

12.3 Hohlspiegel

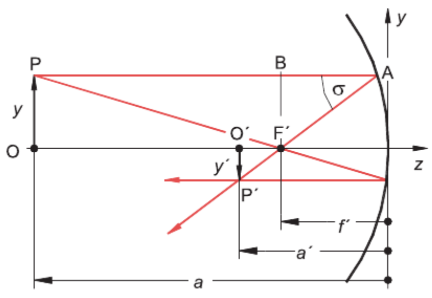

$$\frac{1}{f'} = \frac{1}{a} + \frac{1}{a'}$$

$$f' = \frac{r}{2}$$

$$\beta' = \frac{y'}{y}$$

$$\beta' = -\frac{a'}{a}$$

12.4 Linse

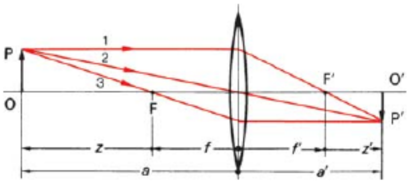

$$f = \frac{a \cdot a'}{a + a'} = -f'$$

$$a' = \frac{af'}{a + f'}$$

$$\beta' = \frac{f'}{a + f'}$$

$$\beta' = \frac{y'}{y}$$

$$D' = \frac{1}{f'} = (n_L - 1) \cdot \left(\frac{1}{r_1} - \frac{1}{r_2}\right)$$

$$\frac{1}{f'} = \frac{1}{a'} - \frac{1}{a}$$

$$\frac{1}{f} = \frac{1}{a'} + \frac{1}{a}$$

Linsenform				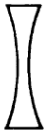		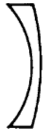
Bezeichnung	bi-konvex	plan-konvex	konkav-konvex	bi-konkav	plan-konkav	konvex-konkav
Radien	$r_1 > 0$ $r_2 < 0$	$r_1 = \infty$ $r_2 < 0$	$r_1 < r_2 < 0$	$r_1 < 0$ $r_2 > 0$	$r_1 = \infty$ $r_2 > 0$	$r_2 < r_1 < 0$
Brennweite im optisch dünneren Medium	$f' > 0$	$f' > 0$	$f' > 0$	$f' < 0$	$f' < 0$	$f' < 0$

12.5 Lichtwellenleiter

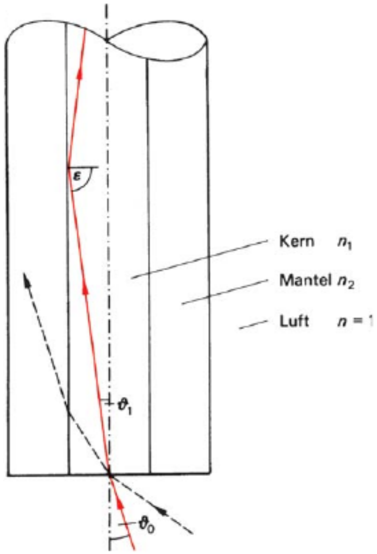

Totalreflexion (Grenzwinkel)

$$n_1 \sin(90^\circ - \vartheta_1) = n_2 \Longrightarrow \cos\vartheta_1 = \frac{n_2}{n_1}$$

numerische Apertur

$$\begin{aligned} A_{WL} &= n_0 \sin\vartheta_0 = n_1\sqrt{1-\cos^2\vartheta_1} \\ &= n_1\sqrt{1-\left(\frac{n_2}{n_1}\right)^2} \\ &= \sqrt{n_1^2 - n_2^2} \\ &= \sqrt{n_{Kern}^2 - n_{Mantel}^2} \end{aligned}$$

Teil III

Elektrotechnik

Kapitel 13

Gleichstromtechnik

13.1 Grundgrößen

Elementarladung

$$e \approx 1,6 \cdot 10^{-19} C$$

$$[Q] = 1C = 1As$$
$$Q = n \cdot e$$

Strom

$$[I] = 1A$$
$$i(t) = \frac{\mathrm{d}Q}{\mathrm{d}t}$$

Stromdichte

$$[J] = 1\frac{A}{mm^2}$$
$$\vec{J} = \frac{I}{\vec{A}}$$

Potential

$$[\varphi] = 1V = 1\frac{Nm}{As} = 1\frac{kgm^2}{As^3}$$
$$\varphi = \frac{W}{Q}$$

Spannung

$$[U] = 1V$$
$$U_{AB} = \varphi_a - \varphi_b$$

Widerstand und Leitwert

$$\begin{aligned}
[R] &= 1\Omega = 1\frac{V}{A} \\
R &= \frac{U}{I} \\
&= \rho\frac{l}{A} = \frac{1}{\kappa}\frac{l}{A}
\end{aligned}$$

$$\begin{aligned}
[G] &= 1S = 1\frac{A}{V} \\
G &= \frac{I}{U} \\
&= \frac{1}{R} \\
&= \kappa\frac{A}{l} = \frac{1}{\rho}\frac{A}{l}
\end{aligned}$$

Temperaturabhängigkeit

$$R_2 = R_1 \cdot \left(1 + \alpha\left(\vartheta_2 - \vartheta_1\right) + \beta\left(\vartheta_2 - \vartheta_1\right)^2\right)$$

Leistung

$$\begin{aligned}
[P] &= 1W = 1VA \\
P &= u(t) \cdot i(t)
\end{aligned}$$

Leistung im Mittel

$$P = \frac{1}{T}\int_0^T u(t) \cdot i(t)\,\mathrm{d}t$$

13.2 Lineare Quellen

Spannungsquelle

$$\begin{aligned}
U &= U_q - R_i \cdot I \\
I_K &= \frac{U_q}{R_i}
\end{aligned}$$

Stromquelle

$$\begin{aligned}
I &= I_q - \frac{U}{R_i} \\
U_l &= I_q \cdot R_i
\end{aligned}$$

13.3 Kirchhoffsche Gesetze

Knotenpunktsatz

$$\sum_{i=1}^{n} I_i = 0$$

Maschensatz

$$\sum_{i=1}^{n} U_i = 0$$

Kapitel 14

Wechselstromtechnik

No rule is so general,
which admits not some exception.
- Robert Burton

Periodische zeitabhängige Größen

Allgemein $x(t) \rightarrow$ speziell $u(t); i(t); q(t); \ldots$
es gillt $x(t) = x(t + n \cdot T); (n \in \mathbb{N}^*)$

Wechselgrößen

Allgemein $x_\sim(t)$; periodisch sich ändernde Größe, deren Gleichanteil bzw. zeitlich linearer Mittelwert gleich Null ist.

Nachweis:

$$\int\limits_{t1}^{t1+n\cdot T} x_\sim(t)\, dt = 0\ ;\ (n \in \mathbb{N}^*)\ ;\ t1 \text{ beliebiger Zeitwert}$$

Mischgrößen

Sind periodisch, Ihr Gleichanteil $\overline{x}$ bzw. zeitlich linearer Mittelwert
jedoch ist ungleich Null.

$$\begin{aligned} \text{Mischgröße} &= \text{Wechselgröße} + \text{Gleichanteil} \\ x(t) &= x_\sim(t) + \overline{x} \\ &= \text{gleichanteilbehaftete Wechselgröße} \end{aligned}$$

14.1 Anteile und Formfaktoren

Gleichanteil

$$\overline{x} = \frac{1}{n \cdot T} \cdot \int_{t_1}^{t_1 + n \cdot T} x\left(t\right) dt$$

Gleichrichtwert

$$\left|\overline{x}\right| = \frac{1}{n \cdot T} \cdot \int_{t_1}^{t_1 + n \cdot T} \left|x\right|\left(t\right) dt$$

Effektivwert

$$x_{eff} = X = \sqrt{\frac{1}{n \cdot T} \cdot \int_{t_1}^{t_1 + n \cdot T} x^2\left(t\right) dt}$$

Formfaktor

$$F = \frac{x_{eff}}{\left|\overline{x}\right|} \qquad x_{eff} = \left|\overline{x}\right| \cdot F$$

crest - Faktor

$$\sigma = \frac{\hat{x}}{x_{eff}}$$

$$n \in \mathbb{N}^* \rightarrow t1 \text{ beliebiger Zeitwert} \rightarrow \left[\left|\overline{x}\right|\right] = \left[x\left(t\right)\right]$$

14.2 Leistung und Leistungsfaktoren

14.2.1 Wirkleistung

$$\begin{aligned} P &= \frac{1}{n \cdot T} \int_{t_1}^{t_1 + n \cdot T} P\left(t\right) dt \\ &= \frac{1}{n \cdot T} \int_{t_1}^{t_1 + n \cdot T} u\left(t\right) \cdot i\left(t\right) dt \end{aligned}$$

14.2.2 Mittlere Leistung

$$\bar{p}\left(t\right) = P = \frac{1}{n \cdot T} \int_{t_1}^{t_1 + n \cdot T} P\left(t\right) dt$$

14.2.3 Scheinleistung

$$S = u_{eff} \cdot i_{eff} = U \cdot I$$

14.2.4 Leistungsfaktor

$$\begin{aligned} \lambda &= \frac{P}{S} \\ &= \frac{\frac{1}{n \cdot T} \int_{t_1}^{t_1 + n \cdot T} p\left(t\right) dt}{u_{eff} \cdot i_{eff}} \\ &= \frac{\int_{t_1}^{t_1 + n \cdot T} u\left(t\right) \cdot i\left(t\right) dt}{\sqrt{\int_{t_1}^{t_1 + n \cdot T} u^2\left(t\right) dt} \cdot \sqrt{\int_{t_1}^{t_1 + n \cdot T} i^2\left(t\right) dt}} \end{aligned}$$

14.3 Sinusförmige Größen

14.3.1 Sinusschwingung

$$x(t) = \hat{x}\sin(2\pi f + \varphi_x)$$
$$x(\omega t) = \hat{x}\sin(\omega t + \varphi_x)$$

- $\hat{x}$: Amplitude
- φ_x : Nullphasenwinkel
- $\varphi_x > 0$: Linksverschiebung der Kurve

14.3.2 Kosinusschwingung

$$x(t) = \hat{x}\cos(2\pi f + \varphi_x)$$
$$x(\omega t) = \hat{x}\cos(\omega t + \varphi_x)$$

- $\hat{x}$: Amplitude
- φ_x : Nullphasenwinkel
- $\varphi_x > 0$: Rechtssverschiebung der Kurve

14.3.3 Nullphasenzeit

$$t_x = -\frac{\varphi_x}{\omega} = -\varphi_x \cdot \frac{T}{2\pi}$$

14.3.4 Addition zweier Sinusgrößen gleicher Frequenz

mit: $a = \hat{a}\sin(\omega t + \alpha) \wedge b = \hat{b}\sin(\omega t + \beta)$

Resultierende Funktion:

$$\begin{aligned} x &= a + b \\ &= \hat{a}\sin(\omega t + \alpha) + \hat{b}\sin(\omega t + \beta) \\ &= \hat{x}\sin(\omega t + \varphi) \end{aligned}$$

- $\hat{x}$: resultierende Amplitude
- φ : Nullphasenwinkel

Wobei: $\hat{x} = +\sqrt{\hat{a}^2 + \hat{b}^2 + 2\hat{a}\hat{b}\cos(\alpha - \beta)}$

$$\varphi = \arctan\frac{\hat{a}\sin\alpha + \hat{b}\sin\beta}{\hat{a}\cos\alpha + \hat{b}\cos\beta}$$

Vierquadrantenarkustangens

$$\varphi = \arctan\frac{ZP}{NP}$$

2. Quadrant $ZP > 0, NP < 0$	1. Quadrant $ZP > 0, NP > 0$
3. Quadrant $ZP < 0, NP < 0$	4. Quadrant $ZP < 0, NP > 0$

Der rotierende Zeiger als rotierender Vektor

$$\begin{aligned}
\text{Allgemein gillt: } \sin(\omega t + \varphi_x) &= \frac{GK}{HT} = \frac{b}{\hat{x}} \\
\cos(\omega t + \varphi_x) &= \frac{AK}{HT} = \frac{a}{\hat{x}} \\
b &= \hat{x} \sin(\omega t + \varphi_x) \\
a &= \hat{x} \cos(\omega t + \varphi_x) \\
\text{Als Einheitsvektor: } \vec{x} &= a \cdot \vec{i} + b \cdot \vec{j}
\end{aligned}$$

Zeigerspitzenendpunkt

$$\begin{aligned}
\underline{x} &= \text{ Zeigerspitzenendpunkt} \\
\underline{x} &= \underbrace{\hat{x} \cos(\omega t + \varphi_x)}_{Re \rightarrow Abszisse} + j \cdot \underbrace{\hat{x} \sin(\omega t + \varphi_x)}_{Im \rightarrow Ordinate} \\
\underline{x} &= \hat{x} \cdot e^{j(\omega t + \varphi_x)} \\
\underline{x}_{eff} &= \text{ rotierender Effektivwertzeiger} \\
\underline{x}_{eff} &= \hat{x}_{eff} \cdot e^{j(\omega t + \varphi_x)}
\end{aligned}$$

14.3.5 Wechsel zwischen Sinus und Kosinus

$$\hat{x}(t) \cos(\omega t + \varphi_x) \equiv \hat{x}(t) \sin\left(\omega t + \varphi_x + \frac{\pi}{2}\right)$$

$$\hat{x}(t) \sin(\omega t + \varphi_x) \equiv \hat{x}(t) \cos\left(\omega t + \varphi_x - \frac{\pi}{2}\right)$$

Zeitbereich		komplexer Zeitbereich
$x = \hat{x}\sin(\omega t + \varphi_x)$	$\xrightarrow{Hintransformation1}$	$\underline{x} = \hat{x}\cos(\omega t + \varphi_x) + j\hat{x}\sin(\omega t + \varphi_x)$
$x = \hat{x}\cos(\omega t + \varphi_x)$	$\xrightarrow{Hintransformation2}$	$\underline{x} = \hat{x}e^{j(\omega t + \varphi_x)}$
		Berechnungen im komplexen Bereich
$y = Im\{y\} = \hat{y}\sin(\omega t + \varphi_y)$	$\xleftarrow{Ruecktransformation1}$	$\underline{y} = \hat{y}e^{j(\omega t + \varphi_y)}$
$y = Re\{y\} = \hat{y}\cos(\omega t + \varphi_y)$	$\xleftarrow{Ruecktransformation2}$	$\underline{y} = \hat{y}\cos(\omega t + \varphi_y) + j\hat{y}\sin(\omega t + \varphi_y)$

HT1 erfordert die Ergänzung eines gleichwertigen reellen Kosinusterms mit dem ursprünglichen Sinusterm als Imaginärteil

HT2 erfordert die Ergänzung eines gleichwertigen imaginären Sinusterms mit dem ursprünglichen Kosinusterm als Realteil

RT1 entnahme des Imaginärteils

RT2 entnahme des Realteils

Merke: $\frac{1}{j} = -j \qquad j = e^{j\frac{\pi}{2}}$

14.3.6 Differentiation und Integration von Sinusgrößen

Zeitbereich	Zeigerbereich
$x(t) = \hat{x}\sin(\omega t + \varphi_x) \xrightarrow{HT_1}$ $x(t) = \hat{x}\cos(\omega t + \varphi_x) \xrightarrow{HT_2}$	$\underline{x} = \hat{x}e^{j(\omega t + \varphi_x)}$
$\frac{d^n x(t)}{dt^n} \xrightarrow{HT_{1/2}}$	$\frac{d^n \underline{x}(t)}{dt^n} = (j\omega)^n \underline{x}$

Zeitbereich	Zeigerbereich
$x(t) = \hat{x}\sin(\omega t + \varphi_x) \xrightarrow{HT_1}$ $x(t) = \hat{x}\cos(\omega t + \varphi_x) \xrightarrow{HT_2}$	$\underline{x} = \hat{x}e^{j(\omega t + \varphi_x)}$
$\int \cdots \int x(t)\, dt^n \xrightarrow{HT_{1/2}}$	$\int \cdots \int \underline{x}(t)\, dt = \frac{1}{(j\omega)^n}\underline{x}$

14.3.7 R, L und C im kompl. Zeigerbereich

Ohmscher Widerstand	$\hat{U} = R\hat{I} \quad \hat{I} = \frac{\hat{U}}{R}$
Induktivität	$\hat{U} = \omega L\hat{I} \quad \hat{I} = \frac{\hat{U}}{\omega L}$
Kapazität	$\hat{U} = \frac{\hat{I}}{\omega C} \quad \hat{I} = \omega C\hat{U}$

14.3.8 Widerstands und Leitwertoperator

$\underline{Z}$ komplexer Widerstand / Impedanz	$\underline{Y}$ komplexer Leitwert / Admitanz
$\underline{Z} = \frac{\underline{u}}{\underline{i}} = \frac{\hat{U}}{\hat{I}} \cdot e^{j(\varphi_u - \varphi_i)}$	$\underline{Y} = \frac{1}{\underline{Z}} = \frac{\hat{I}}{\hat{U}} \cdot e^{j(\varphi_i - \varphi_u)}$
$\lvert\underline{Z}\rvert = Z = \frac{\hat{U}}{\hat{I}} = \frac{U}{I}$	$\lvert\underline{Y}\rvert = Y = \frac{1}{\underline{Z}} = \frac{I}{U}$
mit $\varphi_u - \varphi_i = \varphi_Z$	mit $\varphi_i - \varphi_u = -\varphi_Z = \gamma_Y$

Widerstand

$$\underline{Z} = R \wedge \underline{Y} = 1/R$$

Kapazität

$$\underline{Z} = \frac{1}{j\omega C} = \frac{1}{\omega C}e^{-j\frac{\pi}{2}} \wedge \underline{Y} = j\omega C = \omega C e^{j\frac{\pi}{2}}$$

Induktivität

$$\underline{Z} = j\omega L = \omega L e^{j\frac{\pi}{2}} \wedge \underline{Y} = \frac{1}{j\omega L} = \frac{1}{\omega L}e^{-j\frac{\pi}{2}}$$

14.3.9 Resultierende Operatoren

Reihenschaltung

$$\underline{Z}_{ges} = \sum_{i=1}^{n} \underline{Z}_i$$

Parallelschaltung

$$\underline{Y}_{ges} = \sum_{i=1}^{n} \underline{Y}_i$$

Spannungsteiler

$$\frac{\underline{u}_1}{\underline{u}_2} = \frac{\underline{Z}_1 + \underline{Z}_2}{\underline{Z}_2}$$

Stromteiler

$$\frac{\underline{i}_1}{\underline{i}_2} = \frac{\underline{Y}_1}{\underline{Y}_2}$$

14.3.10 Anteile am komplexen Widerstand (Impedanz)

$$\underline{Z} = \mathrm{Re}\{\underline{Z}\} + j \cdot \mathrm{Im}\{\underline{Z}\} = R + jX = |\underline{Z}| \cdot e^{j\varphi}$$

mit $\varphi = \varphi_u - \varphi_i$ Phasenwinkel; R = Wirkwiderstand;
X = Blindwiderstand; $|\underline{Z}|$ = Scheinwiderstand

$$R = R \qquad L = \frac{X}{\omega} \text{ mit } X > 0 \qquad C = -\frac{1}{\omega X} \text{ mit } X < 0$$

14.3.11 Anteile am komplexen Leiwert (Admitanz)

$$\underline{Y} = \mathrm{Re}\{\underline{Y}\} + j \cdot \mathrm{Im}\{\underline{Y}\} = G + jB = |\underline{Y}| \cdot e^{j\gamma}$$

mit $\gamma = \varphi_i - \varphi_u$ Phasenwinkel; G = Wirkleitwert;
B = Blindleitwert; $|\underline{Y}|$ = Scheinleitwert

$$R = \frac{1}{G} \qquad C = \frac{B}{\omega} \text{ mit } B > 0 \qquad L = -\frac{1}{\omega B} \text{ mit } B < 0$$

14.3.12 komplexer Widerstand / komplexer Leitwert

$$\begin{aligned}
\underline{Y} = G + jB = \frac{1}{\underline{Z}} &= \frac{1}{Z} \cdot e^{-j\varphi} \\
&= \frac{1}{\sqrt{R^2 + X^2}} \cdot e^{-j \arctan \frac{X}{R}} \\
&= \frac{1}{R + jX} = \frac{R - jX}{R^2 + X^2} = \underbrace{\frac{R}{R^2 + X^2}}_{G} \underbrace{-j \frac{X}{R^2 + X^2}}_{B}
\end{aligned}$$

$$\begin{aligned}
\underline{Z} = R + jX = \frac{1}{\underline{Y}} &= \frac{1}{Y} \cdot e^{-j\gamma} \\
&= \frac{1}{\sqrt{G^2 + B^2}} \cdot e^{-j \arctan \frac{B}{G}} \\
&= \frac{1}{G + jB} = \frac{G - jB}{G^2 + B^2} = \underbrace{\frac{G}{G^2 + B^2}}_{R} \underbrace{-j\frac{B}{G^2 + B^2}}_{X}
\end{aligned}$$

14.3.13 Momentanleistung / Augenblicksleistung

$$\begin{aligned}
P(t) = &\underbrace{UI \cos\varphi}_{\text{zeitlich konstant}} - \underbrace{UI \cos(2\omega t + \varphi_u + \varphi_i)}_{\text{mit doppelter Frequenz schwingend}} \\
&= UI \cos\varphi - UI \cos(2\omega t + 2\varphi_u - \varphi)
\end{aligned}$$

mit $\varphi = \varphi_u - \varphi_i \rightarrow \varphi_i = \varphi_u - \varphi$

14.3.14 Blindleistung

Ermittlung des Blindleistungsanteils aus der Momentanleistung

$$P(t) = \underbrace{UI \cos\varphi}_{\text{Wirkleistung}} \underbrace{-UI \sin\varphi \cdot \sin(2\omega t + 2\varphi_u)}_{\text{Blindleistung}}$$

$$P_{ges}(t) = P_{wirk}(t) + P_{blind}(t)$$

$$u(t) \cdot i(t) \begin{cases} > 0 \text{ Energie zum Verbraucher} \\ < 0 \text{ Energie zum Erzeuger} \end{cases}$$

14.3.15 Mittlere Leistung / Wirkleistung

$$P = \overline{P}(t) = \frac{1}{n \cdot T} \int_{t_1}^{t_1 + n \cdot T} u(t) \cdot i(t)\, dt = UI \cos\varphi$$

14.3.16 Definition von Blind- und Scheinleistung

$$Q = UI \sin\varphi \quad [Q] = \text{var} \quad \text{mit} \begin{cases} Q > 0 \text{ induktive Blindleistung } Q_{ind} \\ Q < 0 \text{ kapazitive Blindleistung } Q_{kap} \end{cases}$$

$$S = u_{eff} \cdot i_{eff} = U \cdot I \quad [S] = VA$$

14.3.17 Beziehungen zwischen Wirk- Blind- und Scheinleistung

$$\boxed{P = UI \cdot \cos\varphi \qquad Q = UI \cdot \sin\varphi \qquad S = UI}$$

$$\tan\varphi = \frac{Q}{P} = \frac{\sin\varphi}{\cos\varphi}$$

Leistungsfaktor

$$\lambda = \frac{P}{S} = \cos\varphi$$

$$\begin{aligned} P &= \sqrt{S^2 - Q^2} \\ &= S \cdot \cos\varphi \\ &= \frac{Q}{\tan\varphi} \end{aligned}$$

$$Q = \begin{cases} > 0 \rightarrow Q_{ind} = \sqrt{S^2 - P^2} \\ < 0 \rightarrow Q_{kap} = -\sqrt{S^2 - P^2} \end{cases}$$

$$\begin{aligned} S &= \sqrt{P^2 + Q^2} \\ &= \frac{Q}{\sin\varphi} \\ &= \frac{P}{\cos\varphi} \end{aligned}$$

$$Q = S \cdot \sin\varphi = P \cdot \tan\varphi$$

$$\begin{aligned} \varphi &= \arctan\frac{Q}{P} \\ &= \arcsin\frac{Q}{S} \\ &= \arccos\frac{P}{S} \end{aligned}$$

$$P^2 + Q^2 = U^2 \cdot I^2 = S^2$$

14.3.18 Die komplexe Leistung

$$\begin{aligned} \underline{S} &= \underline{U} \cdot \underline{I}^* \\ &= U \cdot I \cdot e^{j(\varphi_u - \varphi_i)} \\ &= S \cdot e^{j\varphi} \\ &= \underbrace{S \cdot \cos\varphi}_{P} + j \cdot \underbrace{S \cdot \sin\varphi}_{Q} \\ &= P + jQ \end{aligned}$$

* - konjugiert Komplex

$[\underline{S}] = VA \quad [P] = W \quad [Q] = var$

Zusammenhang mit dem komplexen Leitwert / Widerstand

$$\underline{S} = I^2 \cdot \underline{Z} \qquad P = I^2 \cdot R = U^2 \cdot G \qquad Q = I^2 \cdot X = -U^2 \cdot B$$